

آنالیز CFD مبدل کاتالیستی با نرم افزار فلوئنت برای کاهش آلودگی هوا

بهاره بیدار، مریم مزارعی ستوده، سید محمود موسوی*

گروه مهندسی شیمی دانشکده مهندسی دانشگاه فردوسی مشهد

چکیده

در این تحقیق تأثیر به کارگیری مبدل کاتالیستی در خودرو پژو ۴۰۵ برای تبدیل آلاینده‌های هوا مانند گازهای سمی مونوکسید کربن و اکسیدهای نیتروژن به مواد بی‌ضرر نظیر آب، دی‌اکسید کربن و... بررسی شده است. بهاین منظور ابتدا محفظه مونولیت مورد نظر در نرم افزار گمبیت شبیه‌سازی شده و شبکه‌بندی مناسب برای آن انتخاب شده است. سپس در نرم افزار فلوئنت با تعیین مشخصات دقیق محفظه، مواد، واکنش‌ها، شرایط مرزی و... شبیه‌سازی مسئله تکمیل و با همگرایی حل آن، غلظت مواد در نقاط مختلف، دما و سایر نتایج به دست آورده شده است. نتایج حاصله نشان می‌دهد دما در طول محفظه افزایش یافته، سرعت در کناره‌های محفظه کم و در میانه‌های محفظه بیشتر است و از طرفی کاهش آلاینده‌ها در خروجی و تبدیل آنها به مواد بی‌ضرر تا حد قابل قبولی مطلوب و سازگار با اصول تئوری است.

واژه‌های کلیدی: مبدل کاتالیستی، گازهای آلاینده هوا، گمبیت، فلوئنت، CFD

۱ مقدمه

مقدار زیادی از آلودگی‌های محیط‌زیست توسط خودروها تولید می‌شود لذا جهت حفظ سلامتی انسان و محیط‌زیست، امروزه با ایجاد تغییراتی در طراحی موتور و بهینه‌سازی سوخت و مصرف آن تا حدی آلودگی‌ها کاهش داده می‌شود. برای کاهش گازهای آلاینده منتشره از خودروها می‌توان از مبدل‌های کاتالیستی^۱ استفاده نمود. هدف از استفاده از این مبدل‌ها، تبدیل گازهای مضر خودرو به مواد بی‌ضرر است. برخی از گازهای مضر عبارتند از: هیدروکربن‌ها (سوخت نسخته)، مونوکسید کربن، اکسیدهای نیتروژن، ترکیبات گوگردار نظیر دی‌اکسید گوگرد، نمک‌های سرب، فسفر و سایر فلزات. برای جلوگیری از خروج این گازهای آلاینده محیط‌زیست از موتور، مبدل کاتالیستی در مسیر اگزوز، بین منیفلد و صداخفره کن تعییه می‌شود و یک ترکیب شیمیایی که می‌تواند به عنوان کاتالیزور عمل کند، به کارگیری می‌شود. مبدل کاتالیستی شامل قسمت بیرونی فلزی و قسمت داخلی می‌باشد که از پوشش دادن فلزات گرانبهایی نظیر پلاتین، پالادیوم و... بر روی پایه‌ای سرامیکی یا فلزی به نام مونولیت ساخته شده است.

از جمله تحقیقاتی که در زمینه استفاده از مبدل‌های کاتالیستی برای تبدیل آلاینده‌های هوا به مواد بی‌ضرر انجام شده است، می‌توان به مطالعات گرانجر و همکارانش [۱] اشاره نمود که به بررسی سینتیک

* E-mail: mmousavi@um.ac.ir, Tel: 0511-8815100
1- Catalytic Converters

واکنش مونوکسید کربن و اکسیژن و رقابت این واکنش با واکنش مونوکسید کربن و اکسیدنیتروژن بر روی کاتالیست دوفلری پلاتین و رو دیوم بر پایه ای از اکسید آلمینیوم در یک راکتور بستر ثابت پرداخته اند. لذا در نتیجه ممانعت اکسیدنیتروژن از رخداد واکنش نخست، حتی در دماهای بالا نیز اکسیژن صرف نظر از ترکیب کاتالیست و خوراک، در حالت مولکولی باقی میماند. در تحقیق دیگری گرانجر و همکارانش [۲] واکنش احیاء اکسیدنیتروژن را به وسیله مونوکسید کربن در کاتالیست های سه راهه^۱ خودرو بررسی کرده اند و مطالعه سطوح در این بررسی نشان داد رو دیوم تمایل بیشتری به تفکیک اکسیدنیتروژن به اتم های نیتروژن و اکسیژن و دفع مولکول نیتروژن از سطح دارد در حالیکه ویلیامز (Williams) و همکارانش [۳] با طیف نمایی روی فیلم هایی از پلاتین، پالادیوم و رو دیوم نشان دادند که رو دیوم نسبت به سایر مواد در این واکنش انتخابی تر عمل میکند. گرانجر و همکارانش [۴] رفتار سنتیکی کاتالیست سه راهه پلاتین- رو دیوم را بر پایه اکسید آلمینیوم برای واکنش اکسیدنیتروژن و مونوکسید کربن مورد مطالعه قرار داده و با شبیه سازی عددی، رابطه نزدیک بین واکنش های شیمیایی و نقل و انتقال فرآیندها در کanal مونولیت را بیشتر آشکار کردند. چترچی (Chatterjee) و همکارانش [۵] با در نظر گرفتن مدل های کلی و صرف نظر از واکنش های منفرد روی کاتالیست، مدلی برای بررسی چگونگی جذب متفاوت روی کاتالیست رو دیوم- پلاتین ارائه کرده اند که نتایج به دست آمده از مدل ارائه شده با مقادیر آزمایشگاهی توافق خوبی را نشان می دهد.

در این تحقیق تأثیر به کارگیری مبدل کاتالیستی در خودرو پژو ۴۰۵، جهت کاهش آلاینده های هوا مورد بررسی قرار گرفته است. به این منظور عملکرد مبدل پس از تعریف اندازه ها و هندسه محفظه خودروی مورد نظر در نرم افزار گمبیت^۲، با کمک نرم افزار فلوئنت شبیه سازی شده است. نتایج حاصل از این شبیه سازی مشتمل بر غلظت مواد در نقاط مختلف محفظه، دما، فشار و سرعت بررسی شده اند.

۲ مبدل کاتالیستی سه راهه و مکانیزم واکنش های آن

مبدل کاتالیستی سه راهه نقش احیاء کنندگی و اکسید کنندگی را به صورت توأم دارد. لذا علاوه بر انجام عمل اکسید اسیون بر روی مونوکسید کربن و هیدروکربن های سوخته نشده، بر روی ترکیبات نیتروژن دار^۳ نیز اثر احیاء کنندگی دارد. بنابراین به طور کلی واکنش های انجام شده در این مبدل به صورت زیر می باشد:



1- Three ways catalyst converter

2- Gambit

3- NO_x

در این تحقیق با در نظر گرفتن هوا، اکسیدنیتروژن و همچنین پروپان به عنوان هیدروکربن و از طرفی انتخاب رودیوم، پلاتین و سریم به عنوان کاتالیست، مطابق آنچه اون (Kwon) و همکارانش [۶] در جدول ۱ پیشنهاد کرده‌اند، ۲۴ واکنش در نظر گرفته شده است.

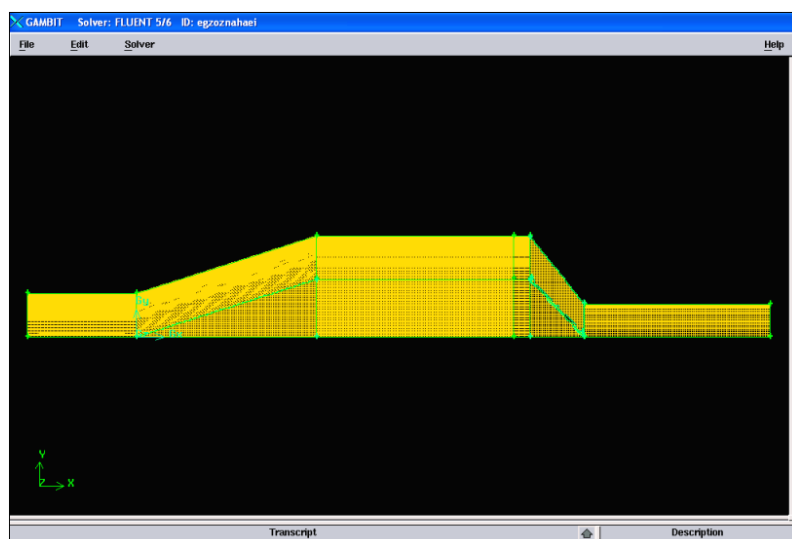
جدول ۱- واکنش های به کارگرفته شده [۶]

شماره	واکنش	پارامترهای سینتیکی			
		4k	100k	4k	100k
1	$\text{CO} + \text{S} \leftrightarrow \text{CO.S}$	$K_{0,1}$	2.3×10^{-3}	2.3×10^{-3}	ΔH_1
2	$\text{C}_3\text{H}_6 + \text{S} \leftrightarrow \text{C}_3\text{H}_6.\text{S}$	$K_{0,2}$	1.1×10^{-2}	1.1×10^{-2}	ΔH_2
3	$\text{H}_2 + 2\text{S} \leftrightarrow 2\text{H.S}$	$K_{0,3}$	6.6×10^{-3}	6.6×10^{-3}	ΔH_3
4	$\text{O}_2 + 2\text{S} \leftrightarrow 2\text{O.S}$	$K_{0,4}$	9.1×10^{-8}	9.1×10^{-8}	ΔH_4
5	$\text{NO} + \text{S} \leftrightarrow \text{NO.S}$	$K_{0,5}$	5×10^{-4}	5×10^{-4}	ΔH_5
6	$\text{H}_2\text{O} + \text{S} \leftrightarrow \text{H}_2\text{O.S}$	$K_{0,6}$	4.4×10^{-13}	4.4×10^{-13}	ΔH_6
7	$\text{NH}_3 + \text{S} \leftrightarrow \text{NH}_3.\text{S}$	$K_{0,7}$	7.2×10^{-5}	7.2×10^{-5}	ΔH_7
8	$\text{N}_2\text{O} + \text{S} \leftrightarrow \text{N}_2\text{O.S}$	$K_{0,8}$	5.2×10^{-4}	5.2×10^{-4}	ΔH_8
9	$\text{H}_2\text{O.S} + \text{S} \rightarrow \text{OH.S} + \text{H.S}$	$k_{0,1}$	3.9×10^{-3}	1.9×10^{-3}	$E_{a,1}$
10	$\text{H}_2\text{O.S} + \text{O.S} \rightarrow 2\text{OH.S}$	$k_{0,2}$	3.6×10^{-2}	1.4×10^{-2}	$E_{a,2}$
11	$\text{H.S} + \text{O.S} \rightarrow \text{OH.S} + \text{S}$	$k_{0,3}$	7.4×10^2	2×10^2	$E_{a,3}$
12	$\text{CO.S} + \text{O.S} \rightarrow \text{CO}_2 + 2\text{S}$	$k_{0,4}$	70	20	$E_{a,4}$
13	$\text{C}_3\text{H}_6\text{S} + 9\text{O.S} \rightarrow 3\text{CO}_2 + 3\text{H}_2\text{O.S} + 7\text{S}$	$k_{0,5}$	5×10^4	1.0×10^4	$E_{a,5}$
14	$\text{H.S} + \text{OH.S} \rightarrow \text{H}_2\text{O.S} + \text{S}$	$k_{0,6}$	1.2×10^3	6.9×10^2	$E_{a,6}$
15	$\text{CO.S} + 2\text{OH.S} \rightarrow \text{CO}_2 + \text{H}_2\text{O.S} + 2\text{S}$	$k_{0,7}$	0.14	0.14	$E_{a,7}$
16	$\text{NO.S} + \text{S} \rightarrow \text{N.S} + \text{O.S}$	$k_{0,8}$	8.3×10^{-10}	2.2×10^{-10}	$E_{a,8}$
17	$\text{NO.S} + \text{N.S} \rightarrow \text{N}_2\text{O.S} + \text{S}$	$k_{0,9}$	4.8×10^6	2.6×10^6	$E_{a,9}$
18	$\text{NO.S} + \text{N.S} \rightarrow \text{N}_2 + \text{O.S} + \text{S}$	$k_{0,10}$	4.8×10^5	4×10^5	$E_{a,10}$
19	$\text{NO.S} + \text{H.S} \rightarrow \text{N.S} + \text{OH.S}$	$k_{0,11}$	1.2×10^{-2}	3.2×10^{-3}	$E_{a,11}$
20	$\text{N.S} + 3\text{H.S} \rightarrow \text{NH}_3.\text{S} + 4\text{S}$	$k_{0,12}$	1.3×10^7	9×10^6	$E_{a,12}$
21	$2\text{NH}_3.\text{S} + 5\text{O.S} \rightarrow 2\text{NO.S} + 3\text{H}_2\text{O.S} + 2\text{S}$	$k_{0,13}$	1.7×10^2	7.2×10	$E_{a,13}$
22	$2\text{NH}_3.\text{S} + 3\text{O.S} \rightarrow \text{N}_2 + 3\text{H}_2\text{O.S} + 2\text{S}$	$k_{0,14}$	5.9×10^3	4.9×10^3	$E_{a,14}$
23	$2\text{NH}_3.\text{S} + 2\text{NO.S} + \text{O.S} \rightarrow 2\text{N}_2 + 3\text{H}_2\text{O.S} + 2\text{S}$	$k_{0,15}$	5.1×10	4.1×10	$E_{a,15}$
24	$\text{N}_2\text{O.S} \rightarrow \text{N}_2 + \text{O.S}$	$k_{0,16}$	0.46	0.32	$E_{a,16}$

$$K_{0,i} \left[\text{m}^3 \text{mol}^{-1} \right] k_{0,i} \left[\text{mol} \cdot \text{m}^{-3} \cdot \text{s}^{-1} \right] \Delta H_i \left[\text{kJ} \cdot \text{mol}^{-1} \right] \text{and } E_{a,i} \left[\text{kJ} \cdot \text{mol}^{-1} \right]$$

۳- شبیه‌سازی

در گام نخست برای شبیه‌سازی مسئله نیاز به تولید شکل و شبکه‌بندی آن در نرم‌افزارهای پیش‌پردازnde می‌باشد. در نتیجه هندسه سه بعدی از محفظه مبدل در نرم‌افزار گمبیت مطابق شکل ۱ تولید شده است. البته با توجه به تقارن شکل، از $1/4$ حجم آن برای مدل‌سازی استفاده شده است. محفظه مشتمل بر یک ورودی و یک خروجی است که قسمت‌های بالایی دیواره و مکان‌های میانی فرضی است.



شکل ۱- شکل مش‌زده شده از مبدل کاتالیستی در نرم‌افزار گمبیت

در مرحله بعد فایل آماده شده در نرم‌افزار فلوئنت خوانده شده، ساختار شبکه چک شده و شبکه‌بندی آن یکنواخت می‌شود. برای حل مسئله در فضای سه بعدی، حل کننده مجزا^۱ انتخاب شده است. به منظور تعیین اثرات حرارتی و دمایی شبکه، محاسبات انرژی نیز فعال می‌گردد. برای تعیین مدل آشفتگی در قسمت مدل لزج^۲، مدل k-epsilon انتخاب می‌شود. در مرحله بعد مواد و واکنش‌های فعال در مبدل وارد می‌شود سپس شرایط عملیاتی در فشار اتمسفریک و شتاب ثقل وارد می‌شود. برای تعیین شرایط مرزی، مشخصات خوراک ورودی و محصول خروجی از مبدل به ترتیب مطابق ردیف اول و دوم جدول ۲ وارد شده است. PM* در این جدول میان مقدار جرمی ذرات جامد می‌باشد.

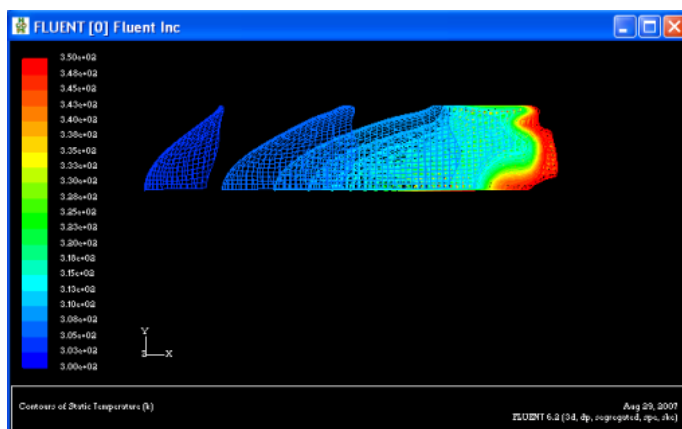
جدول ۲- مقادیر جرمی ذرات در شرایط مرزی [۷]

H ₂ O	NO _x	CO	HC	PM*	SO _x	CO ₂	سوخت
۱۴۱/۷۵	۳/۵	۱۵/۰	۱/۹	۰/۰۳	۰/۰۵	۳۰۸	بنزین
۱۴۶/۸۱	۰/۱۶	۱/۹	۰/۱۹	۰/۰۲	۰/۰۵	۳۱۹	بنزین+کاتالیزور

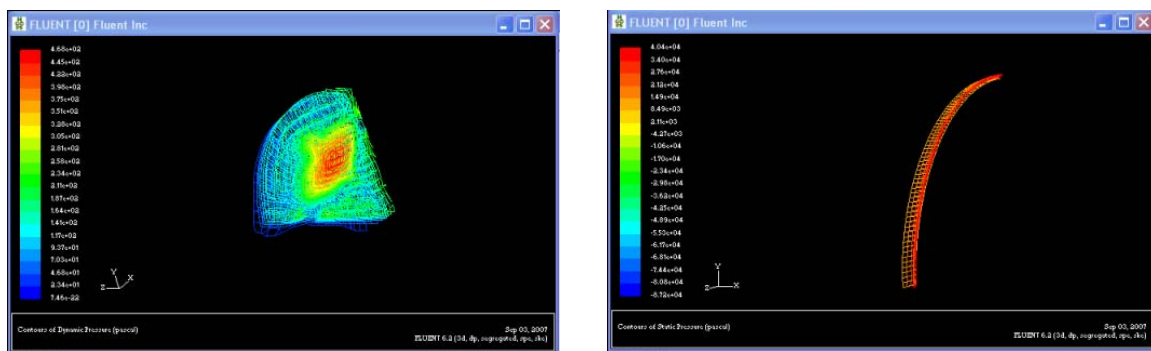
با در نظر گرفتن ضخامت 2 mm برای دیواره آلومینیومی و صرفنظر از اتلاف حرارتی، می‌توان مسئله را حل نمود.

۴- نتایج و بحث

پس از ۱۰۰ مرحله تکرار، مسئله همگرا شده و دیاگرام‌های دما، فشار، سرعت و غلظت ذرات به دست آمده‌اند که در شکل‌های ۲ تا ۸ آورده شده‌اند. در شکل ۲ افزایش دما در مبدل نشان داده شده است و با توجه به آن که واکنش‌های شیمیایی گرمایشی می‌باشند، این شکل با تئوری سازگار است.



شکل ۲- پروفایل دما در طول محفظه



شکل ۳-الف- پروفایل فشار استاتیکی ، ب- پروفایل فشار دینامیکی در طول محفظه

در شکل ۴ مشاهده می‌شود سرعت بیشینه به دلیل آشفتگی و جریان برگشتی در میانه‌های محفظه رخ می‌دهد. در شکل ۵ نتایج مربوط به پروفایل‌های کسر جرمی گروه اکسیدهای نیتروژن مشتمل بر NO_2 ، N_2O و NO ارائه شده‌است. مطابق شکل‌های به دست آمده، ترکیبات فوق در طی مسیر عبور، با توجه به واکنش‌های جدول ۱ روی سطح کاتالیست احیاء شده و لذا در انتهای محفظه به کمترین مقدار خود می‌رسند.



دانشگاه صنعتی سمنان

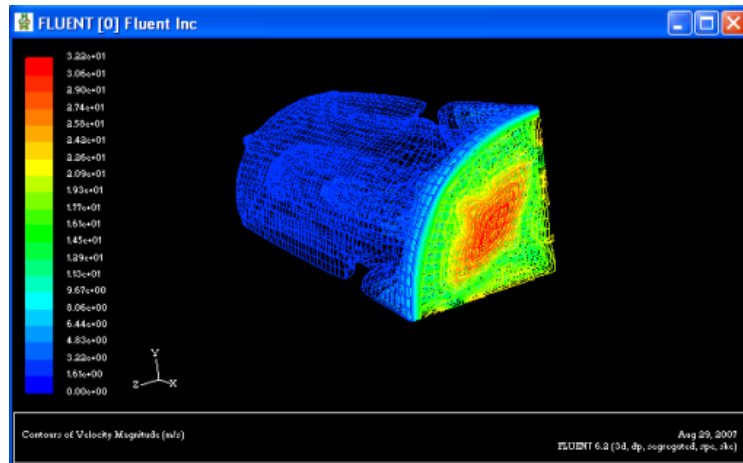


دانشگاه صنعتی سمنان

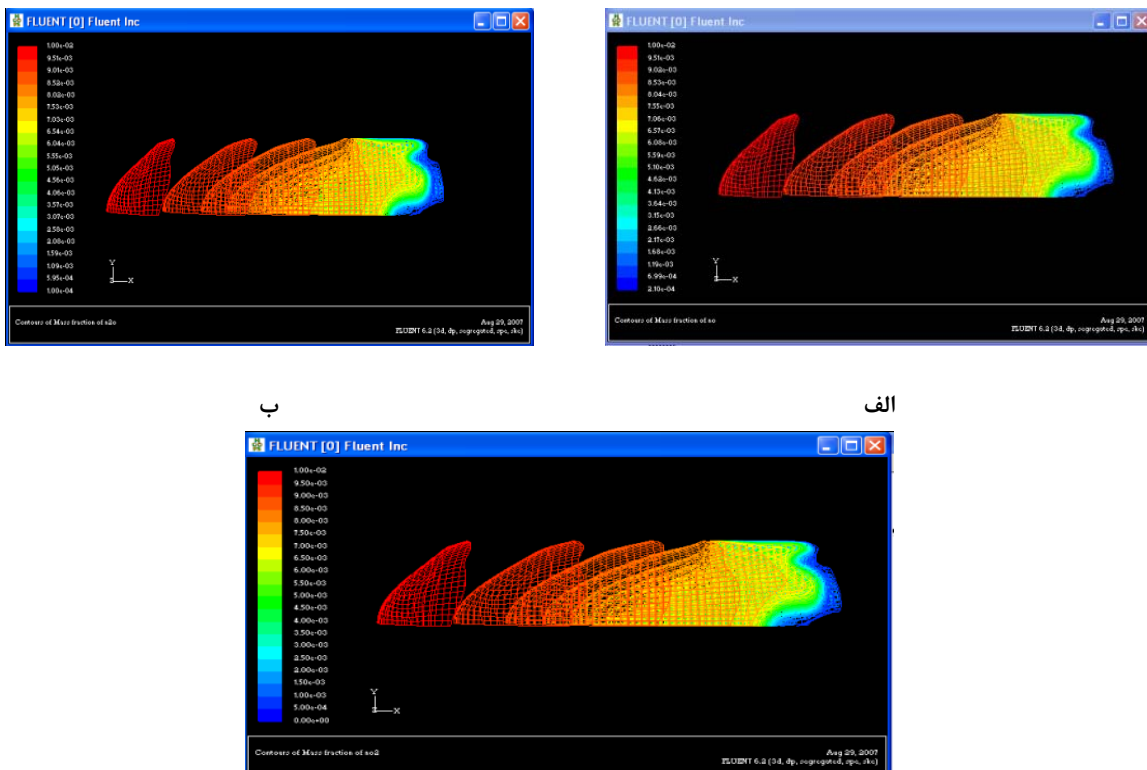


دانشگاه صنعتی سمنان

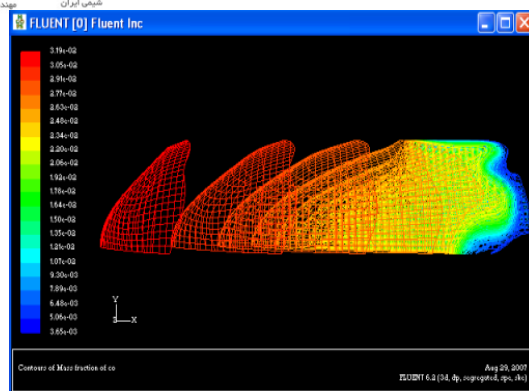
دانشگاه صنعتی سمنان



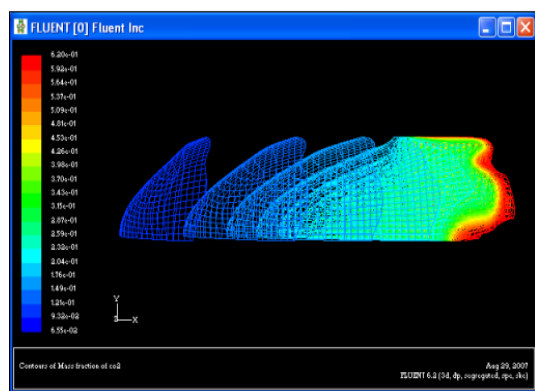
شکل ۴- پروفایل سرعت در طول محفظه

شکل ۵-الف- پروفایل کسر جرمی NO، ب- پروفایل کسر جرمی N₂O و ج- پروفایل کسر جرمی NO₂ در طول محفظه

در شکل ۶ پروفایل‌های کسرهای جرمی دی‌اکسیدکربن و مونواکسیدکربن نشان داده شده است. نتایج حاکی از افزایش میزان دی‌اکسیدکربن می‌باشد. با توجه به اینکه دی‌اکسیدکربن از اکسیداسیون مونواکسیدکربن حاصل می‌شود، میزان این ماده مطابق شکل ۶-ب باید کاهش یابد که با توجه به آلاینده بودن مونواکسیدکربن، این کاهش مطلوب و با داده‌های تئوری نیز سازگار می‌باشد.



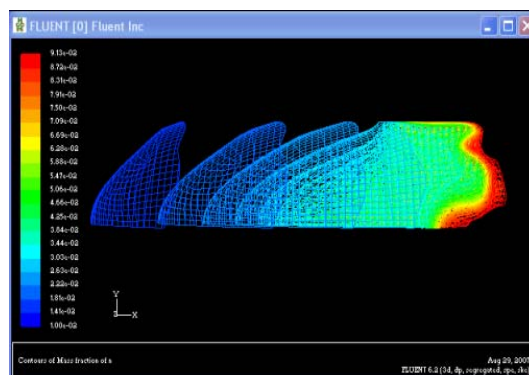
ب



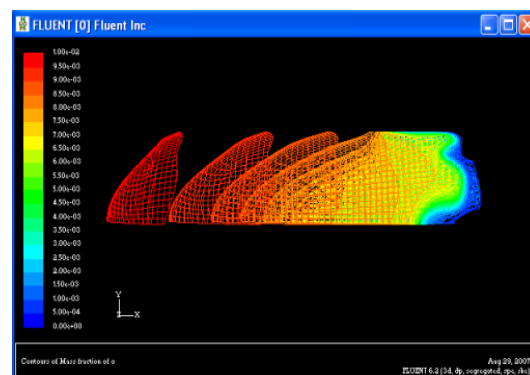
الف

شکل ۶-الف- پروفایل کسر جرمی CO_2 ، ب- پروفایل کسر جرمی CO در طول محفظه

در شکل ۷ پروفایل‌های کسر جرمی اتم اکسیژن و نیتروژن نشان داده شده‌است. مطابق شکل ۷-الف اکسیژن در طی مسیر مصرف می‌شود زیرا اکسیژن در واکنش‌های اکسیداسیون شرکت کرده و در حضور کاتالیست مطابق جدول ۱ مصرف می‌شود. اما با توجه به واکنش‌های احیاء، اکسیدهای نیتروژن به نیتروژن تبدیل شده و لذا میزان این ماده در خروجی افزایش می‌یابد.



ب



الف

شکل ۷-الف- پروفایل کسر جرمی O، ب- پروفایل کسر جرمی N در طول محفظه

در شکل ۸ کسر جرمی آب و پروپان نشان داده شده‌است. با توجه به انجام واکنش‌ها و تبدیل پروپان به دی‌اکسیدکربن و آب، کسر جرمی آب در خروجی افزایش و کسر جرمی پروپان کاهش می‌یابد.

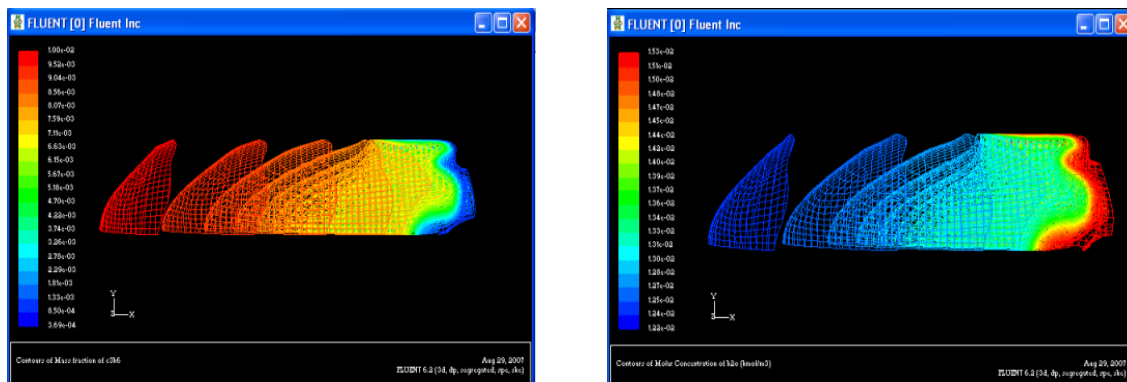
۵- نتیجه‌گیری

نتایج به دست آمده از نرم‌افزار حاکی از کارآیی مناسب مونولیت به کارگرفته شده در تبدیل و کاهش گازهای آلاینده می‌باشد. بر اساس غلظت‌های مواد در خروجی مشخص می‌شود که میزان مواد آلاینده تا حد مطلوب کاهش یافته و به ترکیبات بی‌ضرری نظیر دی‌اکسیدکربن، نیتروژن و آب تبدیل شده است. لذا می‌توان استفاده از مبدل‌های کاتالیستی را در پژو ۴۰۵ جهت تأمین استانداردهای محیط‌زیست بسیار مفید دانست.

پروفیل دمای به دست آمده نشان می‌دهد دما در طول مونولیت در حال افزایش است که روندی قابل قبول است زیرا واکنش‌های انجام شده بر روی سطح کاتالیست‌ها گرمایی باشند. از روی پروفیل مربوط به سرعت می‌توان اینگونه نتیجه گرفت که در کناره‌های محفظه، میزان سرعت کمتری با به عبارتی جریان به حالت آرام نزدیک‌تر است اما در میانه‌های محفظه بدلیل آشفتگی بیشتر و وجود جریان‌های برگشتی، میزان سرعت بیشتر است.

بررسی اثر کاتالیست‌های فلزی پلاتین، روديوم و سریم در مونولیت به کار گرفته شده، نشان می‌دهد این مواد در سرعت بخشیدن به واکنش‌های اکسیداسیون و احیا و همچنین گزینش‌پذیری در برابر واکنش‌گرهای مختلف نقش مؤثری ایفا می‌کنند.

با توجه به تمام نتایج به دست آمده می‌توان شبیه‌سازی انجام شده با نرم افزار و همچنین فرضیات و اطلاعات اولیه به کاربرده شده را تا حد قابل قبولی با اصول تئوری و پیش‌بینی‌های انجام شده سازگار دانست.



شکل ۸-الف- پروفایل کسر جرمی H_2O ، ب- پروفایل کسر جرمی C_3H_6 در طول محفظه

مراجع

- P. Granger, J. Lecomte, L. Leclercq, G. Leclercq, An attempt at modeling the activity of Pt-Ph/Al₂O₃ three-way catalysts in the CO+NO reaction, *J. Applied Catalysis A: General.* 208 (2001) 369.
- P. Granger, C. Dujardin, J. F. Paul, G. Leclercq, An overview of kinetic and spectroscopic investigations of three-way catalysts: mechanistic aspects of the CO+NO and CO+N₂O reactions, *J. Molecular Catalysis A: Chemical.* 228 (2005) 241.
- C. T. Williams, A. A. Tolia, H. Y. H. Chan, C. G. Takoudis, M. J. Weaver, Surface – Enhanced Raman Spectroscopy as an in situ real-time probe of catalytic mechanisms at high gas pressure: The CO-NO Reaction on Platinum and Palladium, *J. Catalysis.* 163 (1996) 63.
- P. Granger, J. Iecomte, L. Leclercq, G. Leclercq, Kinetics of the CO + O₂ reaction over three-way Pt-Rh catalysts, *J. Applied Catalysis A: General.* 218 (2001) 257.
- D. Chatterjee, O. Deutschmann, J. Warnatz, Detailed surface reaction mechanism in a three-way catalyst, *J. Faraday Discuss.* 119 (2001) 371.
- H. Kwon, J. H. Baik, Y. T. Kwon, I. S. Nam, S. H. Oh, Detailed reaction kinetics over commercial three-way catalysts, *J. Chemical Eng. Sci.* 62 (2007) 5042.